

بررسی اثر میدان الکترومغناطیسی مستقیم بر کربوهیدرات، رنگدانه‌های فتوستزی و پاریتین در گلسنگ برگی از منطقه جنگلی بابل

طلایه امیرکیان طهران^{*}

تاریخ پذیرش: 90/9/8

تاریخ دریافت: 90/6/27

چکیده

در پژوهش حاضر، اثرات ناشی از میدان الکترومغناطیسی ($B=1.6, 3.2\text{mT}$)، ناشی از جریان مستقیم با فرکانس 50 هرتز به مدت شش ساعت بر روی گلسنگ *Xanthoria parietina* در طی 3 روز متوالی مورد مطالعه قرار گرفت و برخی از فعالیتهای فیزیولوژیکی و بیوشیمیابی در این تنفس بررسی گردید و میزان تغییرات آنها نسبت به شاهد نشان داده شد. میانگین کلروفیل کل در تنفس میدان الکترومغناطیسی مستقیم 1.6mT 0.01 ± 0.00 (بر حسب میلی گرم بر گرم وزن تر) در مقایسه با شاهد 0.01 ± 0.00 به طور معنی داری کاهش یافت. میانگین کاروتینوئید در تنفس میدان الکترومغناطیسی مستقیم 1.6mT 0.42 ± 0.068 (بر حسب میلی گرم بر میلی لیتر) در مقایسه با شاهد 0.61 ± 0.59 به طور معنی داری کاهش یافت. میانگین کلروفیل a در هر دو تنفس میدان الکترومغناطیسی مستقیم 1.6mT 0.00 ± 0.00 (بر حسب میلی گرم بر گرم وزن تر) و در تنفس میدان الکترومغناطیسی مستقیم 3.2mT 0.01 ± 0.00 در مقایسه با شاهد 0.01 ± 0.00 به طور معنی داری کاهش یافت. میانگین کربوهیدرات در تنفس میدان الکترومغناطیسی مستقیم 1.6mT 12.30 ± 2.874 (بر حسب میلی گرم بر گرم وزن خشک) در مقایسه با شاهد 7.72 ± 0.774 و میانگین پاریتین در تنفس میدان الکترومغناطیسی مستقیم 3.2mT 0.46 ± 0.055 (بر حسب تغییرات واحد جذب در دقیقه) در مقایسه با شاهد 0.30 ± 0.026 به طور معنی داری افزایش یافت. نتایج بدست آمده به صورت (میانگین 4 تکرار \pm انحراف معیار) است و نشان داد که دوره‌های متفاوت از فرکانس 50 Hz موجب اختلافات معنی داری برخی خصوصیات فیزیولوژیکی در این گلسنگ شد.

کلمات کلیدی: میدان الکترومغناطیسی مستقیم، قندهای محلول، رنگدانه‌های فتوستزی، پاریتین، *Xanthoria parietina* L.

مقدمه

سلولی در لایه بالایی بخش‌های قارچی گلشنگ شده که به راسته *Teloschistales* جایی که گلشنگ برگ مانند *X. parietina* به آن تعلق دارد مستقر شده است. سنتز قارچی پاریتین توسط UV-B القا (11) و توسط فتوسترن تحریک می‌شود (12). پاریتین به طور موثری اشعه خورشیدی را در 400-500 nm در دامنه UV-B جذب می‌کند اما از فتوبیونت در مقابل اشعه خورشیدی حفاظت می‌کند از این رو هیچ تأثیر اکولوژیکی از دوزهای مرتبط با UV-B مشاهده نشده است (13). به خوبی مشخص شده است که میدان‌های الکترومغناطیسی تغییرات بیوشیمیایی، فیزیکی و فیزیولوژیکی در ساختارهای سلولی ایجاد می‌کند (14). میدان الکترومغناطیسی و تعششات الکترومغناطیسی بخشی از طیف الکترومغناطیس می‌باشند که اشعه غیر یونیزه کننده نامیده می‌شود به علت اینکه تخریب فیزیکی ایجاد نمی‌کند اما ممکن است در بعضی از موقعیت‌ها موجب بروز بعضی از انواع اثرات بیولوژیکی شود از جمله (میدان متغیر 50Hz) برای شکستن باندهای مولکولی و شیمیایی بسیار ضعیف است (14). میدان‌های مغناطیسی گاهی منجر به تغییرات متابولیسمی در قارچ‌ها، مثلاً افزایش تحییر در آنها می‌گردد (15). همچنین در مورد اثرات میدان الکترومغناطیسی با فرکانس 50Hz و جریان مغناطیسی 0.1mT، 0.025 بر روی رشد میسیلیوم تحقیق کرده و متوجه شدن که محتوای آرگوسترون در میکوریزای قارچ افزایش یافته است (16). اشر شدت جریان میدان مغناطیسی مستقیم 200mT و شدت جریان میدان مغناطیسی ضربه ایی یا متابوب 29mT بر گونه‌های متفاوت قارچ طبق آزمایشات انجام شده، تغییرات مورفو‌لولژیکی بر روی کنیدی *Aspergillus puniceus* و *Alternaria alternate* قابل مشاهده است، همچنین رنگدانه‌های کلونی *Aspergillus niger* در محیط کشت تغییر کرده و به صورت سفید باقی می‌ماند (17). همچنین در مطالعاتی در میدان مغناطیسی 0.1mT، 0.025 با فرکانس 50Hz موجب افزایش رشد میسیلیوم و میزان ارجوسترون میکوریزای قارچی شده است. همچنین

تقريباً 8% اکوسیستم‌های خاکی را گلشنگ‌ها به خود اخصاص می‌دهند که به پراکندگی گونه‌ای و فراوانی کمی مربوط می‌شود (1). شریک‌های زندگی گلشنگی با یکدیگر یک تالوس درهم آمیخته را که همزیست‌های جلبکی یا سیانوباکتریایی (فنویونت) به طور خارج سلولی در هیف قارچی (مايكوبیونت) مستقر شده است را شکل می‌دهند (2). کرین از قارچ مشتق می‌شود و یا در بعضی موارد تغذیه نیتروژن از جلبک یا سیانوباکتری‌ها می‌باشد (3). علیرغم نوع ریختی، سلول‌های فنویونت همیشه توسط هیف احاطه شده‌اند و نزدیک به سطح پایین پوست قارچ لایه بالا مستقر شده است. بنابراین به همین علت یک سازماندهی داخلی دارند که با جذب نور مانند برگ‌های گیاهان عالی عمل می‌کنند (4). به علت اینکه قارچ می‌تواند صادر کردن کربوهیدرات را از فتوبیونت القا کند و تقسیم سلولی فتوبیونت را متوقف کند (5)، به نظر می‌رسد که فتوبیونت توسط قارچ میزان تنظیم می‌شود (6). بعضی از گلشنگ‌ها دارای فعالیت سلول‌لاری می‌باشند بنابراین می‌توانند کربوهیدرات‌های خارجی را کاهش دهند (7). روش تغذیه ای 13500 قارچ گلشنگ شده شناخته شده است (8)، 1/5 قارچ‌ها گلشنگ شده می‌باشند و تقريباً 98% از مايكوبیونت‌های گلشنگ آسکومیست‌ها می‌باشند (9). سلول‌های آسکومیست و بازیدومیست دارای دیواره سلولی حاوی کیتین، کربوهیدرات‌های نیتروژن می‌باشند که از پیش سازهای گلکلوکر و گلولتامین ساخته شده است (10). در گلشنگ‌ها، بدست آوردن کربوهیدرات به طور مستقیم مربوط به فتوسترن فتوبیونت می‌باشد، و مواد معدنی از رسوب خشک یا مرطوب بر روی تالوس تهیه می‌شوند. در گیاهان، قسمت مهم همگون سازی نوری کربوهیدرات سوبیسترا اصلی در تنفس می‌باشد و بیشتر از 50 درصد کربوهیدرات فتوسترنی ممکن است در تنفس گلشنگ مصرف شود (10). پاریتین یک رنگدانه آنتراکوئینون به رنگ نارنجی است که به صورت کریستال‌های خارجی

نایابی‌داری این اثرات را مشخص کنیم. در تمام مدت آزمایش تهویه و دمای 24 درجه سانتی گراد نگهداری شد(شکل. 1). شدت میدان مغناطیسی از رابطه زیر بدست می‌آید.

$$B = \mu_0 \frac{NI}{L}$$

$\mu_0 = \text{ضریب نفوذپذیری در خلا که برابر } 4\pi \times 10^{-7}$

$N = \text{تعداد دور سیم پیچ}$

$I = \text{شدت جریانی که از سیم پیچ می‌گذرد 1.4 \text{ و } 2.8$

بر حسب آمپر

$L = \text{طول سیم پیچ بر حسب متر}$

$B = \text{شدت میدان مغناطیسی بر حسب تلا}$



شکل 1. دستگاه الکترومغناطیس با جریان مستقیم



شکل 2. تصویر گلسنگ *Xanthoria parietina* L.

- توزین 0/1 گرم وزن تال گلسنگ
- سائیدن تال در هاون با 10 ml %80 استون
- صاف کردن محلول با کاغذ صافی واتمن 2
- شستشوی هاون، قیف و باقیمانده تال روی کاغذ صافی با 10 ml %80 استون

مشخص شده است که میدان مغناطیسی با جریان مغناطیسی کم (20-2 برابر بیشتر از جریان ژئومغناطیسی) به طور موثری بر شکل گیری کنیدیا از پاتوژن قارچی گیاه تأثیر می‌گذارد (17). هدف اصلی این تحقیق، سنجش اثر میدان الکترومغناطیسی مستقیم بر پاسخ فیزیولوژیکی گلسنگ *X. parietina* در مورد بعضی از جنبه‌های فیزیولوژی گلسنگ به صورت جزئی می‌باشد.

مواد و روش‌ها

گلسنگ *X. parietina* را از منطقه شمالی ایران در نواحی ساحلی دریای خزر با عرض جغرافیایی $36^{\circ} 43'$ N و طول جغرافیای E $39^{\circ} 52'$ و ارتفاع 21- متر از سطح دریا از درختان چنار به طور تصادفی با 4 تکرار در فصل زمستان 1389 جمع آوری شد. شناسایی جنس و گونه توسط موسسه تحقیقات جنگل‌ها و مراتع انجام شد.

باتوجه به اندازه گلسنگ‌ها از استوانه ایی از جنس PVC به قطر 11cm و به طول 50cm استفاده شد. لازم به ذکر است که هر چه قطر سیم پیچ کمتر و طول آن بیشتر باشد میدان یکنواخت تری بدست می‌آید. به همین منظور بروی این استوانه 1000 دور سیم لایکی به قطر یک میلی متر در یک ردیف به طور منظم پیچیده شده است. برای تأمین برق مستقیم DC با ولتاژ کم (12v-6v) از یک دیمر با توان خروجی 192 وات بهره گرفته شد (18).

گلسنگ‌ها را به طور تصادفی در شدت میدان‌های الکترومغناطیسی 3.2mT و 1.6mT با فرکانس 50 و Hz شدت جریان 2.8A، 1.4، به مدت 6 ساعت در طی سه روز متوالی در بارش میدان مغناطیسی قرارداده شد. از طرفی می‌دانیم که گلسنگ‌ها در میدان مغناطیسی کره زمین که شدت آن برابر 0/5 گوس است به طور طبیعی رشد می‌کنند. به همین علت توسط این دستگاه میدان مغناطیسی قوی تری از میدان‌های کره زمین تولید نمودیم تا بتوانیم تحمل و تأثیر پذیری بر واکنش‌های فیزیولوژی را پیدا کرده و همچنین رابطه بین میدان مغناطیسی و ارگانیسم زنده را بررسی و چگونگی مفید یا مضر بودن و پایداری و

در این سنجش 0.1g تالی خشک شده در هوا را 6 بار، هر بار برای 20 دقیقه با 5ml استون آبگیری می کنیم. سپس تغییرات جذب در 434nm با دستگاه اسپکتروفوتومتر خوانده شد. تعیین محتوای پاریتین بر حسب

$OD \cdot min^{-1} \cdot g^{-1} \cdot DW$ محاسبه گردید (21).

آنالیز داده ها با استفاده از واریانس ANOVA و نرم افزار SPSS (version 15) مقایسه میانگین با استفاده از آزمون دانکن انجام پذیرفت و نمودار با نرم افزار Excel (2007) رسم گردید.

نتایج

نتایج بدست آمده نشان داد که میانگین کلروفیل کل 0.01 ± 0.00 " (بر حسب میلی گرم بر گرم وزن تر) و کلروفیل a 0.00 ± 0.00 " (بر حسب میلی گرم بر گرم وزن تر) در مقایسه با میانگین شاهد 0.01 ± 0.00 " در تنفس میدان الکترومغناطیسی مستقیم $1.6mT$ کاهش یافت، این کاهش در سطح 0.05 معنی دار است. این کاهش در میانگین کلروفیل a در تنفس میدان الکترومغناطیسی مستقیم $3.2mT$ 0.01 ± 0.00 " در سطح 0.05 در مقایسه با شاهد معنی دار است (شکل 4). میانگین کلروفیل b در هر دو تنفس میدان الکترومغناطیسی مستقیم $1.6mT$, $3.2mT$ 0.00 ± 0.001 " (بر حسب میلی گرم بر گرم وزن تر) در مقایسه با شاهد 0.00 ± 0.000 " افزایش معنی دار نیست (شکل 5). میانگین کاروتوئید در تنفس میدان الکترومغناطیسی مستقیم $1.6mT$ 0.42 ± 0.068 " (بر حسب میلی گرم بر میلی لیتر) در مقایسه با شاهد 0.61 ± 0.59 " به طور معنی داری کاهش یافت. اما در تنفس میدان الکترومغناطیسی مستقیم $3.2mT$ 0.63 ± 0.090 " افزایش غیر معنی داری را در سطح 0.05 در مقایسه با شاهد نشان داد (شکل 6).

میانگین کربوهیدرات در تنفس میدان الکترومغناطیسی مستقیم $1.6mT$ 12.30 ± 2.874 " (بر حسب میلی گرم بر گرم وزن خشک) در مقایسه با شاهد 7.72 ± 0.774 " در مقایسه با شاهد معنی دار بود اما این افزایش در

- خواندن جذب محلول در طول موجهای 645 و 663 با استفاده از شاهد استون 80% در دستگاه اسپکتروفوتومتر

- تعیین محتوای کلروفیلی با استفاده از روابط زیر بر حسب میلی گرم بر گرم وزن تر

- محتوای کاروتوئید با استفاده از فرمول Kirk and Allen (1965) بر حسب mg g⁻¹ FW محاسبه شد (19).

$$\text{Total chlorophyll (mg/ml)} = (0.0202) \times \square \quad (\text{A.645}) \\ + (0.00802) \times \square \quad (\text{A.663})$$

$$\text{Chlorophyll 'a' (mg/ml)} = (0.0127) \times \square \quad (\text{A.663}) - (0.00269) \times \square \quad (\text{A.645})$$

$$\text{Chlorophyll 'b' (mg/ml)} = (0.0229) \times \square \quad (\text{A.645}) - (0.00468) \times \square \quad (\text{A.663})$$

$$\text{Carotenoid} = \text{A.480} + (0.114 \times \text{A.663} - 0.638 \times \text{A.645}).$$

- خشک کردن نمونه تال در درجه حرارت 110 سانتیگراد به مدت 48 ساعت داخل آون

- توزین نمونه ها با ترازوی دیجیتال (0/1 گرم)

- افزودن 10 میلی لیتر الکل اتانول 70% به نمونه ها و قرار دادن آنها در یخچال به مدت یک هفته

- برداشتن 1 میلی لیتر محلول بالایی و رساندن حجم آن به 2 میلی لیتر با آب مقطّر

- افزودن 1 میلی لیتر فل 5% (رساندن 5 گرم فل به حجم 100 میلی لیتر به کمک آب مقطّر) به محلول فوق

- اضافه کردن 5 میلی لیتر اسید سولفوریک غلیظ (محلول زرد و سپس تغییر رنگ می دهد)

- قرار دادن محلول به مدت نیم ساعت در دمای آزمایشگاه جهت خنک شدن

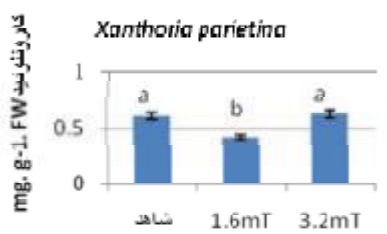
- خواندن جذب در طول موج 485 nm در مقابل شاهد مناسب (1 میلی لیتر اتانول $1+%$ 70 میلی لیتر آب مقطّر

+ 1 میلی لیتر فل 5% 5 میلی لیتر اسید سولفوریک غلیظ) برای یافتن غلظت قندهای محلول (c) توسط منحنی استاندارد، از گلوکز با غلظت های مختلف استفاده گردیده

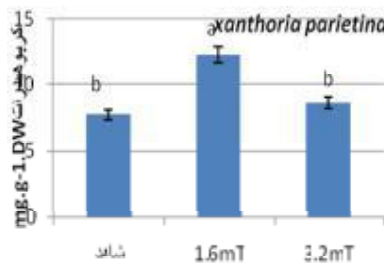
پس از ترسیم منحنی، معادله $C = (b \cdot ABS) + a$ مشخص

گردید. سپس جذبهای خوانده شده در اسپکتروفوتومتر در معادله فوق جایگزین و مقدار قند در گرم وزن خشک نمونه تال (M) محاسبه گردید (20).

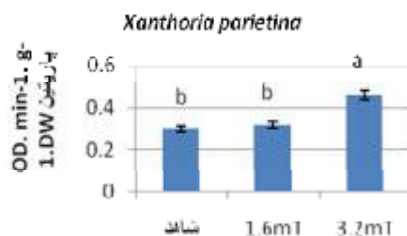
$$M = \frac{c \times 0.01}{w}$$



شکل 6. اثر میدان الکترومغناطیسی بر مقدار کاروتینوئید



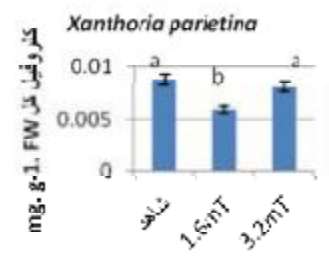
شکل 7. اثر میدان الکترومغناطیسی بر مقدار کربوهیدرات



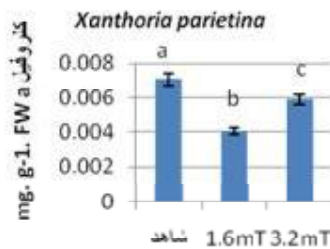
شکل 8. اثر میدان الکترومغناطیسی بر مقدار پاریتین

تنش میدان الکترومغناطیسی مستقیم $3.2mT$ در سطح 0.05 در مقایسه با شاهد معنی دار نبود (شکل 7).

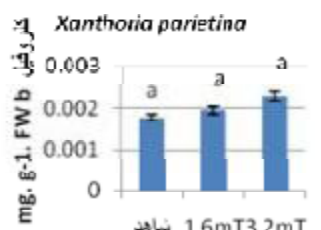
میانگین پاریتین در تنش میدان الکترومغناطیسی مستقیم 0.32 ± 0.060 در مقایسه با شاهد معنی دار نبود اما این افزایش میانگین در تنش میدان الکترومغناطیسی مستقیم 0.46 ± 0.055 ($3.2mT$ در حسب تغییرات واحد جذب در دقیقه) در مقایسه با شاهد 0.30 ± 0.026 به طور معنی داری افزایش یافت (شکل 8).



شکل 3. اثر میدان الکترومغناطیسی بر مقدار کلروفیل کل



شکل 4. اثر میدان الکترومغناطیسی بر روی مقدار کلروفیل a



شکل 5. اثر میدان الکترومغناطیسی بر روی مقدار کلروفیل b

بحث و نتیجه‌گیری

به خوبی مشخص شده است که میدان‌های الکترومغناطیسی، تغییرات شیمیایی، فیزیکی و فیزیولوژیکی در ساختارهای سلولی ایجاد می‌کنند (22). همین طور نشان داده شده است که رشد گیاهانی که در نزدیکی سیمهای انقال با ولتاژ بالا می‌باشند تحت تأثیر میدان الکترومغناطیسی قرار گرفته‌اند (23). سنجش کلروفیل در گلشنگ یکی از چند روشی است که برای ارزیابی تعداد زیادی از استرس‌های محیطی که شامل دما و استرس اسموتیک، فلزات سنگین، یا آلودگی هوا می‌باشد استفاده شد (24). نسبت کلروفیل کل در تنش الکترومغناطیسی با فرکانس 300 kHz در مدت 30 دقیقه در ذرت نسبت به شاهد کاهش می‌یابد اما سطح کلروفیل به مقدار کمی افزایش یافت (25). که این مسئله مطابق

مهما وجود دارد که نشان داد که ترکیبات گلشنگ از فتوبیونت گلشنگ در مقابل سور زیاد فعال فتوستتری حفاظت می کنند.(33) علیرغم این مسئله این ترکیبات UV-B را به طور موثری جذب می کنند(34). رنگدانه های کورتیکولی جذب کننده UV-B در گلشنگ *Xanthoria parietina* تولید شد (34). پاریتین نارنجی رنگ می باشد که توسط مایکوبیونت القا شده و توسط UV-B تولید می شود(34). دوره سوری و انرژی خورشیدی در يك زمان به اندازه کافی افزایش یافت و موجب افزایش دما شد. افزایش دما و اشعه موجب افزایش فتوستتری در فتوبیونت شدند که سنتر پاریتین قارچی را تحريك کردند.(35) با توجه به شرایط آزمایشگاهی آن مقدار پاریتین که در گلشنگ بوده است شاید در اثر تنش الکترومغناطیسی تجزیه شده باشد بنابراین این مسئله با پژوهش حاضر در تنش $1.6mT$ مطابقت نشان نداد. پاریتین و ترکیبات ملاتیکی در گلشنگ *Xanthoria aureola* و *Lobaria pulmonaria* حضور UV-B سنتر می شود و به طور آماری با افزایش UV-B افزایش می یابند.(34) این مسئله با پژوهش حاضر مطابقت نشان داد، به دلیل اینکه پاریتین با افزایش تنش الکترومغناطیسی در $3.2mT$ افزایش معنی داری را نسبت به شاهد نشان داد. نتایج این پژوهش نشان داد که میدان های ضعیف الکترومغناطیسی موجب ایجاد نمونه هایی غنی از کربوهیدرات در گلشنگ شدند که توانستند به عنوان منبع غذایی مناسب برای جانوران بشمار آیند. همچنین علت نتایج متفاوت در دوزهای $3.2mT$ و $1.6mT$ حساسیت و قدرت پاسخگویی متفاوت گلشنگ به این تنش نشان داد. همچنین تنش الکترومغناطیسی ترکیبات دفاعی گلشنگ مانند پاریتین را افزایش داد اما موجب تخریب رنگیزه های فتوستتری در گلشنگ شد. این مسئله به علت حضور میدان های الکترومغناطیسی $50Hz$ در دنیای مدرن توانست در تحقیقات حفاظت از محیط زیست مورد بررسی قرار گیرد.

نتیجه پژوهش است. در مطالعات دیگر در تنش الکترومغناطیسی با فرکانس $900Hz$ بر روی ذرت مشخص شده است که نسبت کلروفیل *b* و *a* در این تنش در مدت کوتاه افزایش اند که را نشان می دهند درحالی که در مدت طولانی کاهش مشخصی را نشان داد (26). همچنین غلظت کلروفیل *a* در گلشنگ *Physcia semipinnata* در معرض فلزات سنگین کاهش یافت. این مسئله با پژوهش حاضر مطابقت نشان داد، به دلیل اینکه کلروفیل *a* در تنش الکترومغناطیسی با شدت $1.6mT$ به مدت 6 ساعت کاهش معنی داری را نسبت به شاهد نشان داد. به علاوه نسبت کلروفیل *b* به کلروفیل *a* در ریسه گلشنگ *Usnea amblyoclada* در مناطق آلوده افزایش یافت و کاهشی از غلظت کلروفیل *a* را نشان داد.(27) این مسئله با پژوهش حاضر مطابقت نشان داد، به دلیل اینکه کلروفیل *b* در هر دو تنش 1.6 , $3.2mT$ افزایش غیر معنی داری را نسبت به شاهد نشان داد. کاروتوئیدها رنگدانه های زرد، نارنجی و قرمز می باشند که متعلق به تتراترین ها گروهی از ایزوپیرنوتید می باشند. کاروتوئیدها از فرا آورده های فتوستتری در مقابل استرس های فتواکسیداتیو حفاظت می کنند.(28) کاروتوئیدها همبستگی مثبت و معنی داری با عنصر *Cr*, *Cu*, *Zn* نشان داد، مس در غلظت های بالا، کل غلظت کاروتوئید را در سلول های *Trebouxia*, فتوبیونت شناخته شده از خانواده *Physciaceae* (29). این مسئله با پژوهش حاضر مطابقت نشان داد، به دلیل اینکه غلظت کاروتوئید در تنش الکترومغناطیسی با شدت $1.6mT$ کاهش معنی داری را نسبت به شاهد نشان داد. کربوهیدرات ها فرآورده های متابولیکی ضروری و منبع انرژی برای بافت های گیاهی می باشند.(30) کل کربوهیدرات محلول در آب در طی استرس سرمایی در گونه های گندم مقاوم به سرما افزایش یافت(31). همچنین محتوای قند در برگ گیاهان *Bauhinia variegata*, *Cassia siamea* در مواجه با استرس آبی افزایش یافت.(32) همچنین همانند سازی و تولید کربوهیدرات برای زندگی در دمای یخ زدگی در ضروری است. این مسئله با پژوهش حاضر مطابقت نشان داد، به دلیل اینکه غلظت کربوهیدرات در تنش الکترومغناطیسی با شدت $1.6mT$ افزایش معنی داری را نسبت به شاهد نشان داد. مدارک

منابع

1. Larson D W. The absorption and release of water by lichens. *Bibliotheca Lichenologica*.1987; 25: 351-360.
2. Smith D C.. The symbiotic condition (review). *Symbiosis*.1992;14: 3-15.
3. Honegger R. Functional aspects of the lichen symbiosis. *Annual Review of Plant Physiology and Plant Molecular Biology*.1991; 42: 553-578.
4. Honegger R. Developmental biology of lichens. *New Phytologist*.1993;125(60): 659-677.
5. Hill D J. The co-ordination of symbionts in mutualistic symbiosis with reference to the cell cycle of the photobiont in lichens. *Symbiosis*.1993; 14: 325-333.
6. McCune G, Bruce L. Macrolichens of the Pacific Northwest. Corvallis: Oregon State University Press.1997; P. 321.7. Galun, M. Lichenization. *CRC handbook of lichenology*.1988; 2: 153-169.
7. Armstrong R A, Smith S N. Do the lichens *Xanthoria conspersa* (Ach.) Hale and *Rhizocarpon* Ram Em Th Fr subgenus *Rhizocarpon* utilise exogenous carbohydrates for radial growth? *Environmental and Experimental Botany*.1996; 36: 13-20.
8. Galun M. Lichenization. *CRC handbook of lichenology*.1988; 2: 153-169.
9. Gargas A, DePriest P T, Grube M, Tehler A. Multiple origin of lichen symbiosis in fungi suggested by SSU rDNA phylogeny. *Science*.1995; 268: 1492-1495.
10. Palmqvist K, Sundberg B. Light use efficiency of dry matter gain in five macrolichens: relative impact of micro-climate and species-specific traits. *Plant, Cell & environment*.2000; 23: 1-14.
11. Solhaug K A, Gauslaa Y, Nybakken L, BilgerW. UV-induction of sun-screening pigments in lichens. *New Phytologist*.2003; 158: 91-100.
12. Solhaug K A, Gauslaa Y. Photosynthates stimulate the UV-B induced fungal anthraquinone synthesis in the foliose lichen *Xanthoria parietina*. *Plant Cell and Environment*. 2004; 27: 167-176.
13. Gauslaa Y, Solhaug K A. Photoinhibition in lichens depends on cortical characteristics and hydration. *Lichenologist*.2004; 36: 133-143.
14. Pietruszewski S, Muszynski S, Dziwulska A. Electromagnetic fields and electromagnetic radiation as non-invasive external stimulants for seeds (selected methods and responses). *Agrophysics*.2007; 21: 95-100.
15. Broers D, Kraepelin G, Lamprecht I, Schulz O. *Mycitypha africana* in low level athermic ELF magnetic fields. *Bioelectrochemistry and Bioenergetics*.1991; 27: 281-291.
16. Ruzic R, Gogala N, Jerman I. Sinusoidal magnetic fields: Effect on growth and ergosterol content in mycorrhizal fungi. *Electro- and Magnetobiology*. 1997;6: 129-142.
17. Pal N. The effect of low inductivity static magnetic field on some plant pathogen fungi.2005; 6(2): 167-171.
18. سعادتمند سارا، روشن دل فرزانه، درانیان داده، بررسی اثر میدان‌های مختلف بر تشکیل جسم بارده و (Pleurotus ارزش غذایی قارچ خوراکی صدفی .فصلنامه پژوهش‌های علوم گیاهی، 1387)
19. Arnon D I. Copper enzymes in isolated chloroplasts polyphenoloxidases in *Beta vulgaris*. *Plant Physiology*.1949; 24: 1-15.
20. Kochert G. Carbohydrate determination by phenol sulfuric acid method in: Helebust J A. CRAIG J S. (ed). *Handbook of ohiocologia method*.1978; 56-97.
21. Solhaug K A, Gauslaa Y. Acetone rinsing a method for testing ecological and physiological roles of secondary compounds in living lichens. *Symbiosis*.2001; 30: 301-315.
22. Wadas R S..1992; Biomagnetism. Physics and Its Applications. Ellis Horwood Publ., New York ISBN.
23. Hart F X, Marino, A A. Energy flux along high voltage transmission lines. *IEEE Trans. Biomed. Eng.*,1977; 24, 493-495.
24. Unal D, Tuney I, Esiz-Dereboylu A, Sukatar A. The effect of UV-A (352nm) stress on chlorophyll fluorescence chlorophyll a content, thinkness of upper cortex and determinate DNA damage in *Physcia semipinnata*. *Journal of Photochemistry and Photobiology Biology*. 1977;94: 71-76.
25. Racuciu M, Miclaus S, Creanga D E. The response of plant tissues to magnetic fluid and electromagnetic exposure. *Romanian, J. Biophys*.2009; 19(1): 73-82
26. Racuciu M, Miclaus S. Low -level 900MHz electromagnetic field influence on vegetable tissue. *Romanian J. Biophys*.2007;17(3):.149-156.
27. Rodriguez, J. H., Carreras, H. A., Pignata, M. L., Gonzalez C M. Nickel exposure enhances the susceptibility of lichens *Usnea amblyoclada* and *Ramalina celastri* to urban atmospheric pollutants. *Arch Environ Contam Toxicol*. 2007; 53: 533-540.
28. Strzalka K, Kostecka-Gugala A, Latowski D. Caretenoids and environmental stress in plants: Significance of carotenoid mediated modulation of membrane physical properties. *Russian journal of plant physiology*. 2003; 50: 168-172.
29. Backor M, Fahselt D, Davidson R, Wu C T. Effects of copper on wild and tolerant strains of

- the lichen photobiont *Trebouxia erici* (Chlorophyta) and possible tolerance mechanisms. *Archives of Environmental Contamination and Toxicology*. 2003; 45: 159-167.
30. Correa L R, Paim D C, Schwambach J, Fett-Neto, A. G. Carbohydrates as regulatory factors on the rooting of *Eucalyptus saligna* Smith and *Eucalyptus globulus* Labill. *Plant Growth Regulation*. 2005; 45: 63-73.
31. Keles Y, Oncel I. Growth and solute composition in two wheat species experiencing combined influence of stress conditions. *Russian Journal of Plant Physiology*. 2004; 51(2): 203-208.
32. Sinhababu A, Kumar Kar R. Comparative responses of three fuel wood yielding plants to PEG-induced water stress at seedling stage. *Acta Physiologiae plantarum*. 2003; 25: 403-409.
33. McEvoy M, Gauslaa Y, Solhaug K A. Changes in pools of depsidones and melanins, and their function during growth and acclimation under contrasting natural light in the lichen *Lobaria pulmonaria*. *New Phytologist*. 2007;175: 271-282.
34. Larsson P, Vecerova K, Cempirkova H, Solhaug K A, Gauslaa Y. Does UV-B influence biomass growth in lichens deficient in sun-screening pigments? *Environmental and Experimental Botany*. 2009;2019: 1-19.
35. Gauslaa Y, McEvoy M. Seasonal changes in solar radiation drive acclimation of the sun-screening compound parietin in the lichen *Xanthoria parietina*. *Basic and Applied Ecology*.2005; 6: 75-82.